

# UF<sub>6</sub>中稀土元素的中子活化分析

杜安道 潘素京 施玉全

本文叙述了UF<sub>6</sub>中14个稀土元素(REE)的中子活化分析。

将UF<sub>6</sub>水解液转化为HNO<sub>3</sub>介质,采用TBP色层,PMBP萃取,高压阳离子交换色谱以及D<sub>2</sub>EHPA色层进行化学分离。方法的灵敏度在 $3 \times 10^{-10}$ — $2 \times 10^{-12}$  g之间,回收率在90%以上。相对标准偏差在±20%以内。

关键词 UF<sub>6</sub>, La-Sm, Eu, Gd, Tb, Ho-Lu, 稀土元素, 中子活化分析。

## 前 言

REE,特别是Gd,它们的中子吸收截面很大,是重要的中子毒物。因此REE含量直接影响着UF<sub>6</sub>的质量。由于REE中子活化截面较高,可以采用中子活化分析对UF<sub>6</sub>中REE进行定量测定。U基体经热中子辐照后会产生大量裂变产物,其中包括REE;为此样品在送堆辐照前,必须事先除去U。 $^{158}\text{Gd}(n\gamma)^{159}\text{Gd}$ 反应后, $^{159}\text{Gd}$ 的363.5 keV $\gamma$ 峰比 $^{101}\text{La}$ , $^{153}\text{Sm}$ 和 $^{152}\text{Eu}$ 弱得多。为准确测定Gd,必须将它从REE中分离出来才有可能。

I.P.Alimarin等<sup>[1,2]</sup>曾用离子交换法除去U,测定了金属U中的微量REE。彭春林等<sup>[3]</sup>曾系统研究了PMBP萃取REE。姜延林等<sup>[4]</sup>采用TBP色层柱除去U,测定了U中26个杂质元素。REE的相互分离过去常采用D<sub>2</sub>EHPA色层法<sup>[5]</sup>和阳离子交换法<sup>[6]</sup>。近年来多采用高压色谱分离技术<sup>[7-11]</sup>,使REE的分离更完全,更快速。

参考上述工作拟定了我们的分析流程。该流程示于图1。

## 一、试剂、设备和仪器

REE标准均采用光谱纯氧化物,重蒸HNO<sub>3</sub>,重蒸水。其它试剂均为分析纯。

80%TBP-Kel-F色层柱:取12.3克80-100目Kel-F粉和9.84 ml TBP配制成色层粉,分别装成 $\phi 3 \times 60$  mm,  $\phi 4 \times 120$  mm,  $\phi 7 \times 140$  mm三种规格的色层柱。

10%D<sub>2</sub>EHPA色层柱:由4克Kel-F粉和0.4 ml D<sub>2</sub>EHPA配成色层粉。装成 $\phi 3 \times 60$  mm色层柱。

阳离子交换柱: $\phi 3 \times 490$  mm,  $\phi 4 \times 110$  mm的内壁光滑不锈钢柱,内装粒度为2-

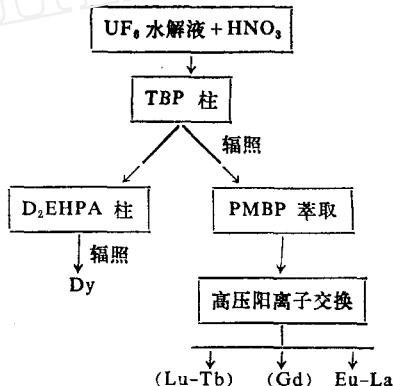


图1 UF<sub>6</sub>中REE分析全流程示意图

21  $\mu\text{m}$  的聚苯乙烯磺酸阳离子交换树脂。

高压分离系统示于图 2。

SCORPIO-3000 多道分析器，计算机系统，大同轴 Ge(Li) 深测器（美国 CANBERRA 公司生产），灵敏体积为 150  $\text{cm}^3$ 。对  $^{60}\text{Co}$  1332 keV 的分辨率为 2.0 keV。探测效率 30%。峰康比为 48:1。

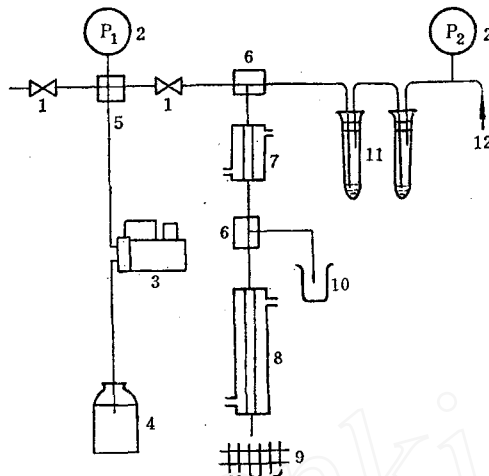


图 2 高压系统流程示意图

1. 二通阀；2. 压力表；3. 高压输液泵；4. 样液瓶；5. 四通阀；6. 三通阀；7. 带恒温水套吸附柱；8. 带恒温水套分离柱；9. 试管；10. 烧杯；11. 进样试管；12. 压缩空气。

## 二、REE 的化学分离

### 1. Dy 的 分 离 程 序

(1) 样品转化 取 0.3 ml 300 mgU/ml 的  $\text{UF}_6$  水解液，加入 1 ml 浓  $\text{HNO}_3$ ，加热至干。再加酸蒸干，重复两次。待转化为硝酸铀酰后，加 0.3 ml 5.5 N  $\text{HNO}_3$  溶解残渣。

(2) TBP色层分离 将上述残渣溶液加至  $\phi 4 \times 120 \text{ mm}$ TBP-Kel-F色层柱中。大量 U 吸附于柱上，呈亮黄色 U 带。然后用 5.5 N  $\text{HNO}_3$  淋洗杂质，收集 2—4 ml 淋洗液于 30 ml 聚四氟乙烯坩埚中，加热至干，加入约 0.3 ml 5.5 N  $\text{HNO}_3$  溶解残渣。将此溶液加至  $\phi 3 \times 60 \text{ mm}$ TBP-Kel-F 色层柱中，用 2 ml 5.5 N  $\text{HNO}_3$  淋洗杂质。收集淋洗液于聚四氟乙烯坩埚中，加热浓缩至近干，加 0.01 N  $\text{HNO}_3$  溶解残渣。

(3) D<sub>2</sub>EHPA 色层分离 将上述溶液加到 D<sub>2</sub>EHPA-Kel-F 色层柱中，用 3 ml 0.01 N  $\text{HNO}_3$  淋洗 Mn, Na 和 As 等杂质，然后用 5 ml 8 N  $\text{HNO}_3$  洗脱 REE。

### 2. 长寿命 REE 的分离程序

(1) 样品转化 及 TBP 色层分离 取 1 ml 300 mg U/ml 的  $\text{UF}_6$  水解液，按前述步骤转化为 1 ml 5.5 N  $\text{HNO}_3$  溶液，并使该溶液先后通过  $\phi 7 \times 140 \text{ mm}$  TBP-Kel-F 色层柱（收集第 3.5—10.5 ml 淋洗液）和  $\phi 3 \times 60 \text{ mm}$  TBP-Kel-F 色层柱以除去 U 基体。将淋洗

液蒸干。

(2) PMBP萃取 用 1 ml 10% HCl 溶解淋洗液残渣，并转入 10 ml 萃取管中。依次加入 0.3 ml 10% 盐酸羟胺，0.4 ml 10% 磷基水杨酸，1 ml 60% 硫氰化铵，1 滴 0.1% 二甲基黄指示剂，溶液变红。先后用 50% 氨水，10% HCl 和 10% 氨水中和使溶液刚变黄。加 1 ml pH 5.2 缓冲液，5 ml 0.5% PMBP-苯溶液，振荡 5 min，静置分相，依次用 1 ml pH 5.2 缓冲液，1 ml 离子交换水洗涤有机相。然后用 6 ml 0.05 N HNO<sub>3</sub> 分两次加入萃取管。每次振荡 5 分钟，合併两次反萃液。用数 ml 苯洗去萃取液中残存的 PMBP。

(3) 高压色谱分离REE 将反萃液浓缩至 1 ml 左右，用压缩空气将反萃液加入高压系统的吸附柱中，然后用 pH 3.58, 0.5 M α 羟基异丁酸洗脱 REE。压力 15 kg/cm<sup>2</sup>，流速 0.4 ml/min。按各核素淋洗峰位置把 Lu—Tb, Gd, Eu-La 分三组测量。

### 3. 辐 照

为测定 Dy，将除去 U 和其它杂质的 REE 溶液吸收于几层滤纸片上，烤干，送反应堆中水平孔道(中子通量  $10^{12} \text{n} \cdot \text{cm}^{-2} \cdot \text{sec}^{-1}$ )辐照 1 小时。冷半小时即可测量。

为测定长寿命 REE，将除去 U 的样品封入石英瓶中，送反应堆中心孔道(中子通量  $10^{13} \text{n} \cdot \text{cm}^{-2} \cdot \text{sec}^{-1}$ )辐照 20 小时。冷 20 小时后进行化学分离。

## 结 果 和 讨 论

(1) REE 的测定结果 我们测定了三种不同来源的 UF<sub>6</sub>。结果列于表 1。从表 1 可见这 14 个 REE 含量在 0.2—123 ppb 之间。各个元素测定的相对标准偏差( $\sigma$ )在 20% 以内。在分析中所使用的 REE 标准经标准参考物 Allend 陨石核对过。按上述的化学分离程序测定 REE，收率在 90% 以上。

表 1 UF<sub>6</sub> 中 REE 含量

元 素	样 品 G		样 品 C		样 品 P	
	含 量, ppb	$\sigma, \%$	含 量, ppb	含 量, ppb	含 量, ppb	含 量, ppb
La	59	±11	56		32	
Ce	123	±20	110		67	
Pr	10*	±10			4.4	
Nd	41*	±6			29	
Sm	9.0	±15	8.3		3.6	
Eu	2.1	±8	2.0		1.2	
Gd	9.2	±4	6.2		3.2	
Tb	0.84	±13	0.61		0.58	
Dy	9.4	±12	5.9			
Ho	1.4	±11	1.1		0.5	
Er	3.1*	±5			2.0	
Tm	0.23*	±5			0.2	
Yb	2.7	±20	2.7		2.0	
Lu	0.63	±20	0.56		0.4	

\* 为在 PMBP 萃取后，用 10% D<sub>2</sub>EHPA 色层柱<sup>[5]</sup>将 REE 分为三组：(La—Sm), (Eu, Gd, Tb), (Ho—Lu) 所获得的数据。

在所分析的 REE 核素中,  $^{165}\text{Dy}$  的半衰期(2.36 小时)最短。短时间的辐照和冷却后, 仅  $^{165}\text{Dy}$  95 keV $\gamma$  峰最强, 可得到测定结果。

长时间辐照样品经高压分离后, 其淋洗曲线示于图 3。实验表明, 高压分离使 Gd 的探测极限从  $5 \times 10^{-9}\text{g}$  提高到  $3 \times 10^{-10}\text{g}$ 。所有 REE 分析灵敏度在  $3 \times 10^{-10}—2 \times 10^{-12}\text{g}$  之间。

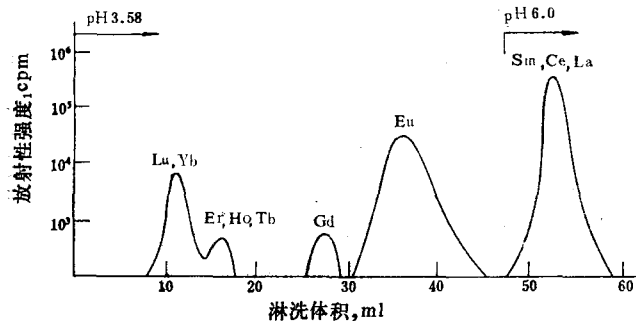


图 3  $\text{UF}_6$  中的杂质经辐照后 REE 部分高压色谱分离图

在微克级。大量裂变产物的  $\gamma$  峰将影响 La, Ce 等元素的测定。

(3)  $\text{UF}_6$  中 REE 含量的分布规律 若将地壳<sup>[1,2]</sup> 和  $\text{UF}_6$  中 REE 含量对 La--Lu 的顺序画在图 4 中, 发现在三种不同来源的  $\text{UF}_6$  样品中, 其 REE 相对含量均和地壳中的情况相似。

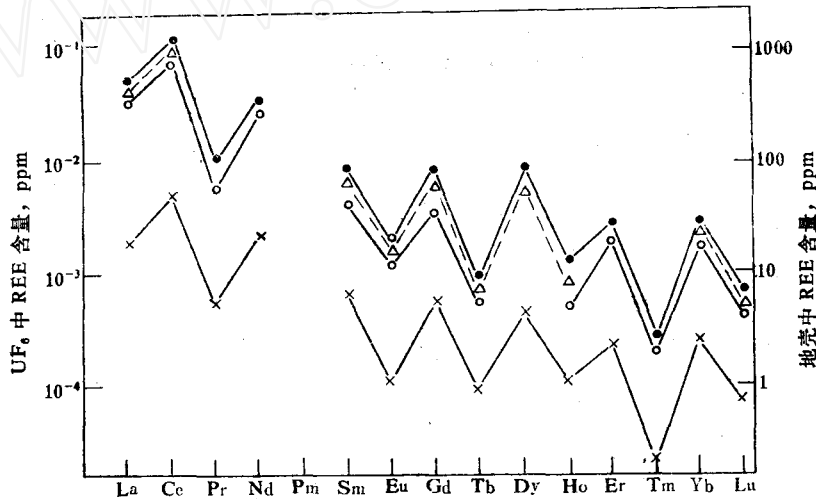


图 4  $\text{UF}_6$  和地壳中 REE 含量  
●—样品 G; Δ—样品 C; ○—样品 P; ×—地壳样品。

#### 参 考 文 献

- [1] L. Koste et al., *Talanta*, 12, 977 (1965).
- [2] I. P. Alimarin et al., *J. Radioanal. Chem.*, 4, 45 (1970).
- [3] 彭春林, 分析化学, 3, 33 (1973).
- [4] 姜廷林等, 原子能科学技术, 3, 221 (1975).
- [5] R. J. Sochacka et al., *J. Chromatogr.*, 16, 376 (1964).

(下接第 13 页)

表 1 有无 EDTA 存在时, 外加离子对铀测定的影响  
(每次取铀 23.8 μg)

外 加 离 子	加入量, μg	无 EDTA		2 ml 2% EDTA	
		测得铀, μg	误 差, μg	测得铀, μg	误 差, μg
Ca(II)	500	27.4	+3.6		
	250	23.0	-0.8		
Al(III)	500	23.6	-0.2		
	25	32.4	+8.6		
Th(IV)	25	24.6	+0.8		
	20				
Pb(II)	25	47.2	+23.4	23.8	0
Cu(II)	25	69.0	+45.2	23.6	-0.2
Fe(III)	25	35.8	+12.0	24.0	+0.2
Zr(IV)	25	40.2	+16.4	23.0	-0.8
Zn(II)	10	110.7	+86.9	23.4	-0.4
Ni(II)	5	70.7	+46.9	24.5	+0.7
Co(II)	10	65.6	+41.8	23.3	-0.5
Cd(II)	5	124.3	+100.5	24.3	+0.5
Ce(III)	25	57.8	+34.0	22.7	-1.1
Mn(II)	10	79.3	+55.5	23.6	-0.2

## 结 束 语

铀(VI)与PAN在弱碱性溶液中生成不溶于水的红色络合物, 当在水溶液中加入非离子型表面活性剂(OP-10), 采用胶束增溶法即可进行直接测定。络合物的吸光度在pH 8.7—10.7范围内保持恒定, 且稳定达50分钟, 最大吸收波长在550 nm处。摩尔吸光系数为 $1.85 \times 10^4$ , 灵敏度为 $0.0127 \mu\text{g}/\text{cm}^2$ 。加入EDTA可有效地消除干扰离子的影响。

## 参 考 文 献

- [1] K. L. Cheng, *Anal. Chem.*, **30**, 1027(1958).
- [2] R. J. Baltishberger, *Anal. Chem.*, **36**, 2369(1964).
- [3] Yasumasa Shigetomi, *Talanta*, **12**, 1079(1980).
- [4] 渡边宽人, 境幸夫, 分析化学(日), **23**(4), 396(1974).
- [5] 江淑英, 分析化学, **6**, 530(1980).

(编辑部收到日期: 1981年12月22日)

(上接第71页)

- [6] D. L. Massart et al., *Anal. Chim. Acta*, **42** (7), 14 (1968).
- [7] D. Ishii et al., *J. Radioanal. Chem.*, **46**, 41 (1978).
- [8] M. Schadel et al., *Radiochim. Acta*, **24**, 27 (1977).
- [9] N. R. Larsen et al., *J. Radioanal. Chem.*, **45**, 135 (1978).
- [10] 施玉全等, 原子能科学技术, **2**, 203 (1982).
- [11] 《稀土》编写组, 稀土, 冶金工业出版社, 1978.

(编辑部收到日期: 1981年9月14日)